

акоп.
в ли-
похи
трез-
10
34
П. Ф.
, Изд.
Обру-
ртиче-
лярно.

Ю. П. НЕПРОЧНОВ, А. Ф. НЕПРОЧНОВА, С. М. ЗВЕРЕВ, В. И. МИРОНОВА,
Р. А. БОКУН, А. В. ЧЕКУНОВ

НОВЫЕ ДАННЫЕ О СТРОЕНИИ ЗЕМНОЙ КОРЫ ЧЕРНОМОРСКОЙ ВПАДИНЫ К ЮГУ ОТ КРЫМА

(Представлено академиком Д. И. Щербаковым 17 VII 1963)

Осенью 1961 г. Черноморской экспериментальной научно-исследовательской станцией (ЧЭНИС) Института океанологии АН СССР, Институтом физики Земли АН СССР, Научно-исследовательской морской геофизической экспедицией (НИМГЭ) Всесоюзного научно-исследовательского института геофизики и Институтом геофизики АН УССР были проведены сейсмические исследования в Черном море к югу от Крымского полуострова*. Глубинное строение земной коры Черноморской впадины в общих чертах было определено в результате работ Института океанологии (¹,²). Одной из основных задач экспедиции 1961 г. было уточнение параметров «гранитного» слоя, а также более детальные исследования осадочного слоя.

При глубинном сейсмическом зондировании (ГСЗ) применялась известная методика неподвижных регистрирующих станций и перемещающегося пункта взрывов. В работах участвовали три регистрирующих судна: экспедиционные суда ЧЭНИС «Академик Вавилов» и «Академик Ширшов» и судно НИМГЭ «Владимир Обручев». В качестве дополнительных морских станций использовались сейсмоакустические радиобуи (³). Регистрация велась также специально организованными береговыми станциями Института физики Земли («Кацивели») и Института геофизики АН УССР («Приветное», «Вишненое» и «Скалистое»). Кроме того, взрывы записывались сейсмологическими станциями «Ялта», «Алушта» и «Севастополь».

Во время экспедиции было выполнено 5 профилей ГСЗ (общая длина 620 км) и 4 профиля МОВ (общая длина 156 км). Схема расположения профилей и регистрирующих станций приведена на рис. 1; там же нанесены профили ГСЗ, выполненные в этом районе ранее (11 и 12). При ГСЗ взрывались заряды тротила весом 130 кг на глубине 75 м. На морских регистрирующих станциях использовался обычный комплект аппаратуры для ГСЗ на море: гидрофоны, станции ГСЗ, осциллографы ПОБ-14. Во время работы суда «Вавилов» и «Ширшов», а также радиобуи ставились на якорь; «Обручев» вел регистрацию в дрейфе. Гидрофоны опускались на глубину 50—80 м. На береговых станциях использовались многоканальные (от 4 до 30 каналов) линейные приемные установки с шагом 100—200 м, ориентированные вдоль профилей 17 и 18. Применялись сейсмоприемники НС-3 (резонансная частота 5 Гц) и сейсмографы венгерского производства (резонансная частота 8 Гц), причем наибольшая дальность регистрации получена с приборами НС-3. Как правило, приборы группировались по 3—4 на канал.

При исследовании МОВ использовалась 24-канальная пьезосейсмография коса; работы велись методом непрерывного профилирования при движении судна «Обручев» по профилю со скоростью 8—11 км/час.

На всех профилях ГСЗ получены встречные и нагоняющие гидографы глубинных преломленных волн. В районе исследований выделены четыре основных группы преломленных волн P^{sc} , P^o , P^x и P^m .

По гидографам основных групп волн были построены сейсмические раз-

* Экспедиционные работы были проведены большим коллективом сотрудников различных организаций. От Института океанологии в работах участвовали: Ю. П. Непрочнов, Г. Н. Лунарский, В. Н. Москаленко, М. Ф. Михно и др., от Института физики Земли — С. М. Зверев, Ю. Ф. Васильев, Э. И. Зеликман; от НИМГЭ — В. В. Бокун, С. А. Челноков и др.; от Института геологии АН УССР — А. В. Чекунов, Л. А. Хилинский, В. В. Млоцинский и др.

резы. Построение велось с использованием средних скоростей, а где можно — с учетом преломления на промежуточных границах. Средние скорости определялись по точкам пересечения годографов преломленных волн и по годографам первых вступлений.

Границы, построенные по гидографам волн P^{oc} , характеризуются различными скоростями $v_r = 2,4 \div 5,0$ км/сек и соответствуют границам раздела краев в осадочном слое. Границы Γ_1 и Γ_2 , построенные по гидографам волн P_i^o и имеющие $v_r = 6,0$ км/сек (для волн P_i^o) и $v_r = 6,2 \div 6,4$ км/сек (для волн P_{i+1}^o), условно отнесены к гранитному слою земной коры. Отметим, что данные

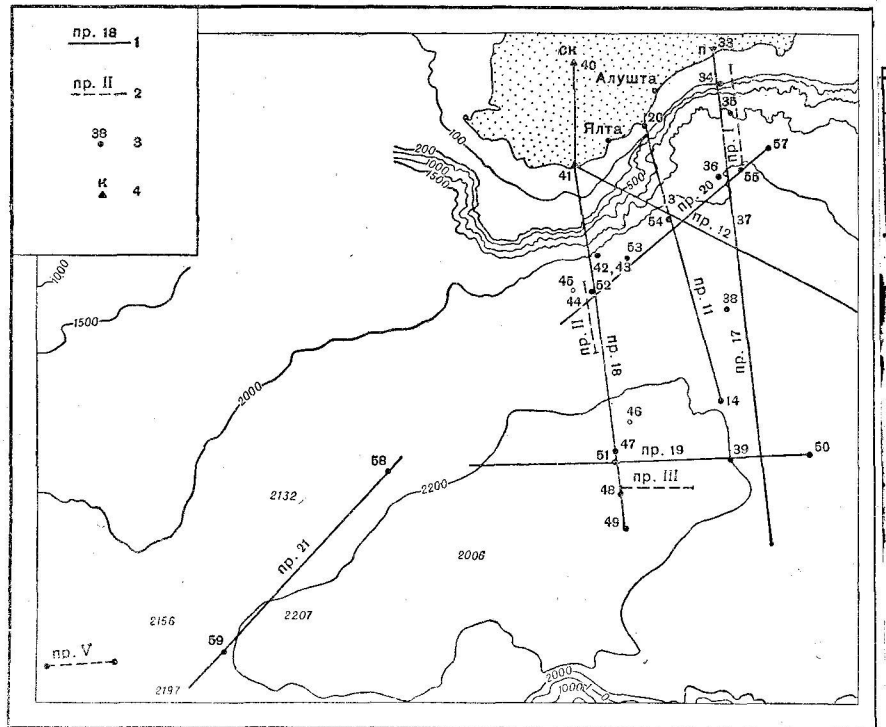


Рис. 1. Схема расположения сейсмических профилей. 1 — профили ГСЗ, 2 — профили МОВ, 3 — морские регистрирующие станции, 4 — береговые регистрирующие станции

по поверхности слоя Γ_1 (глубина, граничная скорость) пока недостаточно надежны и нуждаются в уточнении. По гидографам волн P^x построены границы Б, характеризующиеся $v_r = 6,6 \div 7,0$ км/сек. Они отнесены к поверхности «базальтового» слоя земной коры. Поверхность Мохоровичича соответствует волнам P^m и имеет $v_r = 8,0 \div 8,6$ км/сек.

На рис. 2 дан сейсмический разрез по профилю 17, который отражает основные особенности строения района. На северном участке профиля нанесен разрез верхней части осадочного слоя, построенной по данным МОВ. Этот же разрез в большем масштабе показан на том же рисунке внизу.

Приводим краткую характеристику основных слоев земной коры.

Осадочный слой. Карта мощностей осадочного слоя приведена на рис. 3. При ее составлении мощности осадков измерялись на северном участке до кровли слоя Γ_1 , на среднем — до кровли слоя Γ_2 и южнее — поверхности слоя Б. Мощность осадочного слоя изменяется от 2 до 15 км.

Как показывают результаты работ МОВ, осадочная толща сильно расчленена. На профилях 21 и 19, а также, вероятно, на южных участках профилей 17 и 18 границы раздела в осадках залегают почти горизонтальными или со слабым наклоном. На северном участке района осадочный слой имеет сложное строение. На профиле I-МОВ (рис. 2) здесь фиксируется наличие

где в видах в значительной мере несогласно залегающих структурных этажей в нижней части осадочной толщи. Верхний структурный этаж охватывает комплекс отложений мощностью 500—700 м и характеризуется практическим моноклинальным залеганием отражающих границ. Нижний структурный этаж характеризуется сильной дислоцированностью. Здесь отмечаются разрывы крупных погребенных поднятий, разделенных синклинальным прогибом. Представляется возможным такой вариант геологической интерпретации P_2 сейсмического разреза профиля I-МОВ. Поднятие в северной части профиля должно соответствовать Туакскому поднятию; разлом в области ма-

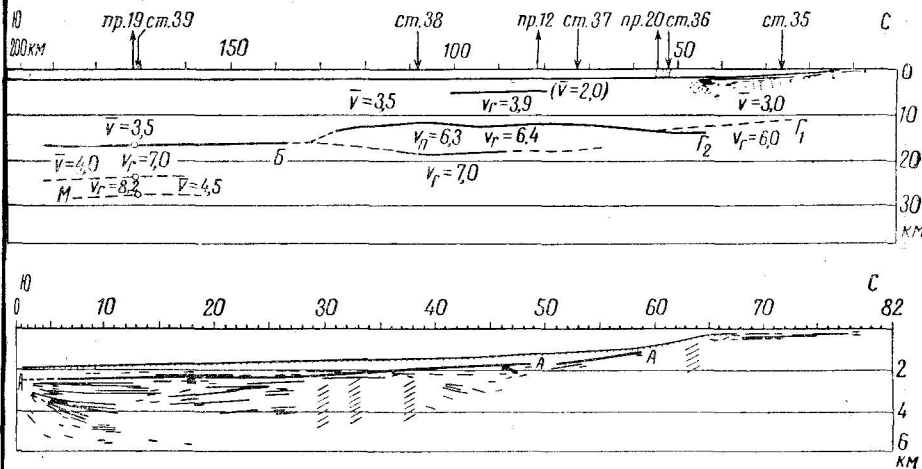


Рис. 2. Сейсмические разрезы: вверху — по профилю 17 (рис. 1) (толстыми линиями показаны границы, построенные по встречным полям времен; тонкими линиями — границы, продолженные по одиночным гидографам; пунктиром — неуверенные построения); внизу — по профилю I-МОВ (рис. 1)

терикового склона — Экчидагскому надвигу; первый прогиб — Судакскому синклиниорию; дальнейшие структуры не имеют остатков на сущее.

«Гранитный» слой. Характерной особенностью района является поднятие «гранитного» фундамента Γ_2 к юго-востоку от профиля 20, которому соответствует область пониженных мощностей осадков (до 7 км). Хорошо видно различие в структурных планах всех трех фундаментов осадочного слоя. Первый фундамент Γ_1 имеет ЮЗ — СВ простижение, второй фундамент Γ_2 — ЮВ — СЗ простижение. Поверхность «базальтового» слоя на исследованного района наклонена на восток.

Учитывая геологическое строение Крыма и Черного моря (⁴, ⁵) и значения граничных скоростей, можно высказать предположение, что слой Γ_1 состоит из метаморфизованных осадочных пород. Линия выклинивания этого слоя параллельна берегу и северному контуру Крымского мегантиклиниория. Можно допустить, что эта линия является южной границей Крымского мегантиклиниория. Описанная выше складчатость в осадочном слое, по-видимому, принадлежит к структурам внутреннего ядра и южного крыла мегантиклиниория Горного Крыма и формировалась в процессе развития мегантиклиниория. Отложение верхней недислоцированной толщи осадков происходило, вероятно, в основном в четвертичное время, после опускания южной половины мегантиклиниория вследствие расширения Черноморской впадины.

Слой Γ_2 характеризуется сравнительно высокой граничной скоростью и, по-видимому, сложен более плотными породами. Описанное выше поднятие слоя Γ_2 является, вероятно, остатком того древнего горного массива, с которого сносился материал в Крымскую геосинклиналь. Северо-западное простижение поднятия можно рассматривать как косвенное указание на то, что слой Γ_2 сложен палеозойскими и, возможно, докембрийскими породами. Сброс, фиксируемый на профилях 20 и 17 (рис. 3), вероятно, является

продолжением в Черном море крупного поперечного субмеридионального разлома, разделяющего Крым по линии Аю-Даг — восточнее Симферополя на две части: западную и восточную^(5, 6).

«Базальтовый» слой. Наиболее уверенные данные о базальтовом слое получены в области, расположенной к югу от гранитного

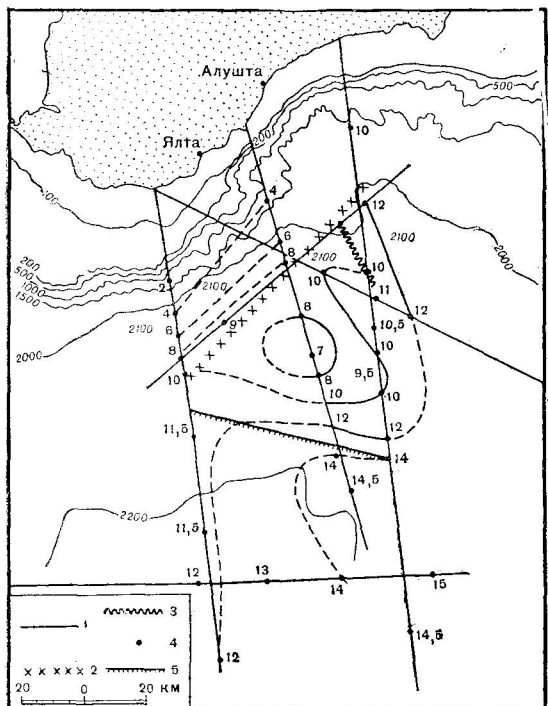


Рис. 3. Карта мощностей осадочного слоя. 1 — линии равных мощностей, 2 — юго-восточная граница распространения слоя Г₁, 3 — зона предполагаемого нарушения, 4 — глубины фундамента, снятые с разрезов, 5 — южная граница распространения слоя Г₂

земной коры. В южной части района состоит из двух основных слоев: осадка, толща здесь горизонтально-слоистая, слойной корой, состоящей из осадочных слоев. Данных о строении осадков на му, оно также сравнительно простое.

Хотя мы имеем пока явно недостаточные сведения о глубинном строении участка, расположенного примерно между профилем 20 и берегом Крыма, есть основания для выделения там третьего типа коры, отличающегося существованием двух ярусов «гранитного» слоя (Γ_1 и Γ_2). Осадочная толща сильно дислоцирована.

Границы между участками с различным строением земной коры совпадают с границами разных фундаментов осадочного слоя и показаны на рис. 15.

ЦИТИРОВАННАЯ ЛИТЕРАТУРА

¹ В. П. Гончаров, Ю. П. Непрочнов, Сборн. докл. к XXI международному конгрессу по геологии, Морская геология, 1960. ² Ю. П. Непрочнов, Бюлл. МОИП, № 35, № 4 (1960). ³ Г. Н. Лунарский, Тр. Инст. океанол., 55 (1960). ⁴ А. Д. Архангельский, Н. М. Страхов, Геологическое строение и историческое развитие Черного моря, 1938. ⁵ М. В. Муратов, Краткий очерк геологического строения Крымского полуострова, М., 1960. ⁶ З. Л. Маймин, Третичные отложения южной части Крыма, 1951.